



UNIVERSIDADE ESTADUAL DE SANTA CRUZ

Mestrado em Modelagem Computacional

**Lista 3**

**MÉTODOS NUMÉRICOS I**

Professor: Dany S. Dominguez

Alunos: Everaldina Guimarães Barbosa  
João Vitor Nascimento Ramos

Ilhéus – BA  
Novembro

# Sumário

<b>Introdução</b>	<b>2</b>
<b>Exercício 1: Polinômios de Taylor</b>	<b>3</b>
<b>Exercício 2: Polinômios de Lagrange</b>	<b>8</b>
<b>Exercício 3: Função de Runge</b>	<b>14</b>

# Introdução

A aproximação polinomial desempenha um papel fundamental na análise de funções e no estudo do comportamento local de modelos matemáticos. Quando uma função é complexa ou custosa de avaliar, aproximá-la por polinômios torna-se uma estratégia eficiente para estimar valores, analisar tendências e compreender sua dinâmica em torno de pontos específicos.

Neste trabalho, investiga-se o uso dos polinômios de Taylor e de Lagrange como ferramentas para aproximar funções reais, avaliando sua precisão em diferentes *pontos de operação*. A partir dessas aproximações, é possível observar como termos de ordem superior influenciam a qualidade da estimativa e como o afastamento do ponto de expansão impacta o erro resultante.

O objetivo não é apenas construir os polinômios aproximadores, mas também examinar o desempenho de cada método, discutir suas limitações e interpretar os resultados obtidos. Dessa forma, a análise permite compreender de maneira mais profunda a relação entre suavidade da função, ordem do polinômio, comportamento local e erro de aproximação.

# Exercício 1: Polinômios de Taylor

Considere a função:

$$f(x) = \sin(2x) + \cos(3x)$$

- a) Obtenha o polinômio de Taylor de grau 2,  $P_2(x)$ , e de grau 3,  $P_3(x)$ , que aproximem a função no ponto  $x = \pi$ .

A forma geral do polinômio de Taylor de ordem  $n$  em torno de  $x = a$  é dada por

$$P_n(x) = \sum_{k=0}^n \frac{f^{(k)}(a)}{k!} (x - a)^k.$$

Neste caso, precisamos de  $f(x)$ ,  $f'(x)$ ,  $f''(x)$  e  $f^{(3)}(x)$  avaliadas em  $x = \pi$ .

## Cálculo das derivadas

As derivadas sucessivas de  $f(x) = \sin(2x) + \cos(3x)$  são:

$$\begin{aligned} f(x) &= \sin(2x) + \cos(3x), \\ f'(x) &= 2\cos(2x) - 3\sin(3x), \\ f''(x) &= -4\sin(2x) - 9\cos(3x), \\ f^{(3)}(x) &= -8\cos(2x) + 27\sin(3x). \end{aligned}$$

Avaliado em  $x = \pi$ , obtemos:

$$f(\pi) = -1, \quad f'(\pi) = 2, \quad f''(\pi) = 9, \quad f^{(3)}(\pi) = -8.$$

## Polinômio de Taylor de grau 2

A expansão de Taylor de ordem 2 da função  $f$  em torno de  $x = \pi$  é dada por

$$P_2(x) = f(\pi) + \frac{f'(\pi)}{1!}(x - \pi) + \frac{f''(\pi)}{2!}(x - \pi)^2.$$

---

Substituindo os valores encontrados:

$$P_2(x) = -1 + 2(x - \pi) + \frac{9}{2}(x - \pi)^2.$$

### Polinômio de Taylor de grau 3

A expansão de Taylor de ordem 3 da função  $f$  em torno de  $x = \pi$  é dada por

$$P_3(x) = f(\pi) + \frac{f'(\pi)}{1!}(x - \pi) + \frac{f''(\pi)}{2!}(x - \pi)^2 + \frac{f^{(3)}(\pi)}{3!}(x - \pi)^3,$$

o que resulta em

$$P_3(x) = -1 + 2(x - \pi) + \frac{9}{2}(x - \pi)^2 - \frac{4}{3}(x - \pi)^3.$$

**b) Utilize os polinômios  $P_2(x)$  e  $P_3(x)$  para aproximar a função nos pontos  $x_1 = \pi + 0,1$  e  $x_2 = \pi - 0,5$ ; calcule os desvios absolutos em relação ao valor verdadeiro em cada caso.**

Os pontos de interesse são

$$x_1 = \pi + 0,1 \approx 3,24159, \quad x_2 = \pi - 0,5 \approx 2,64159.$$

#### Aproximação por $P_2(x)$

Para o polinômio de Taylor de ordem 2, definimos o erro absoluto como

$$E_2(x) = |f(x) - P_2(x)|.$$

A partir da implementação numérica em , obtiveram-se os seguintes valores:

Ponto	$f(x)$	$P_2(x)$	$E_2(x)$
$x_1$	-0,756667	-0,755000	0,001667
$x_2$	-0,912208	-0,875000	0,037208

Tabela 1: Aproximação de  $f(x)$  pelo polinômio  $P_2(x)$  e erro absoluto nos pontos  $x_1$  e  $x_2$ .

#### Aproximação por $P_3(x)$

Analogamente, para o polinômio de Taylor de ordem 3, o erro absoluto é dado por

$$E_3(x) = |f(x) - P_3(x)|.$$

Os valores numéricos obtidos foram:

---

Ponto	$f(x)$	$P_3(x)$	$E_3(x)$
$x_1$	-0,756667	-0,756333	0,000334
$x_2$	-0,912208	-0,708333	0,203875

Tabela 2: Aproximação de  $f(x)$  pelo polinômio  $P_3(x)$  e erro absoluto nos pontos  $x_1$  e  $x_2$ .

c) Obtenha um limite superior para os polinômios de Taylor  $P_2(x)$  e  $P_3(x)$ .

Para estimar o erro da aproximação por um polinômio de Taylor, utilizamos o resto da série, dado por

$$R_n(x) = \frac{f^{(n+1)}(\xi)}{(n+1)!} (x-a)^{n+1},$$

onde  $\xi$  está entre  $a$  e  $x$ . Como o valor exato de  $\xi$  é desconhecido, substitui-se  $|f^{(n+1)}(\xi)|$  pelo *maior valor possível* de  $|f^{(n+1)}(x)|$  no intervalo de interesse. O resultado obtido é um **limite superior** para o erro:

$$|R_n(x)| \leq \frac{M}{(n+1)!} |x-a|^{n+1},$$

com  $M = \max_{x \in I} |f^{(n+1)}(x)|$ .

Neste problema, o ponto de expansão é  $a = \pi$ , e os pontos avaliados são

$$x_1 = \pi + 0,1, \quad x_2 = \pi - 0,5.$$

### Limite superior para o erro de $P_2(x)$

O termo de resto de ordem 2 envolve a terceira derivada:

$$f^{(3)}(x) = -8 \cos(2x) + 27 \sin(3x).$$

Como

$$|\cos(2x)| \leq 1, \quad |\sin(3x)| \leq 1,$$

segue que

$$|f^{(3)}(x)| \leq 8 + 27 = 35.$$

Assim, o erro máximo garantido de  $P_2$  é:

$$|R_2(x)| \leq \frac{35}{3!} |x-\pi|^3$$

Aplicando aos pontos avaliados:

$$|R_2(x_1)| \leq \frac{35}{6} (0,1)^3 = 0,005833,$$

---


$$|R_2(x_2)| \leq \frac{35}{6}(0,5)^3 = 0,729167.$$

**Limite superior para o erro de  $P_3(x)$**

O termo de resto de ordem 3 envolve a quarta derivada:

$$f^{(4)}(x) = 16 \sin(2x) + 81 \cos(3x).$$

Usando novamente os limites dos termos trigonométricos:

$$|f^{(4)}(x)| \leq 16 + 81 = 97.$$

Logo, o limite superior do erro de  $P_3$  é:

$$|R_3(x)| \leq \frac{97}{4!} |x - \pi|^4$$

Aplicando aos pontos:

$$|R_3(x_1)| \leq \frac{97}{24}(0,1)^4 = 0,000404,$$

$$|R_3(x_2)| \leq \frac{97}{24}(0,5)^4 = 0,252083.$$

**(d) Comente sobre a precisão dos valores aproximados em cada caso. Qual a melhor alternativa? Como podemos melhorar a precisão para o ponto  $x_2$ ?**

Ponto	Aproximação	Erro real	Limite superior	Razão (erro / limite)
$x_1 = \pi + 0,1$	$P_2$	0,001667	0,005833	0,286
$x_1 = \pi + 0,1$	$P_3$	0,000334	0,000404	0,827
$x_2 = \pi - 0,5$	$P_2$	0,037208	0,729167	0,051
$x_2 = \pi - 0,5$	$P_3$	0,203875	0,252083	0,808

Tabela 3: Comparação entre erro real e limite superior para as aproximações  $P_2(x)$  e  $P_3(x)$ .

A partir dos resultados apresentados na Tabela 3, é possível analisar de forma clara o comportamento das aproximações obtidas pelos polinômios de Taylor de segunda e terceira ordem. Observa-se inicialmente que, no ponto  $x_1 = \pi + 0,1$ , ambos os polinômios apresentam erros pequenos, compatíveis com a proximidade em relação ao ponto de expansão  $x = \pi$ . Para este caso, o polinômio de ordem 3 fornece a melhor aproximação,

---

reduzindo o erro para cerca de um quinto daquele obtido com  $P_2$ . Além disso, nota-se que os erros reais são significativamente menores do que os limites superiores estimados, indicando que os majorantes obtidos para  $R_2(x_1)$  e  $R_3(x_1)$  são válidos, porém bastante conservadores.

A situação muda quando analisamos o ponto  $x_2 = \pi - 0,5$ . Conforme evidencia a Tabela 3, o erro associado ao polinômio de terceira ordem cresce substancialmente, superando, inclusive, o erro produzido pelo polinômio de ordem 2. Esse comportamento está diretamente relacionado ao termo  $|x - \pi|^{n+1}$  do resto de Taylor, que aumenta rapidamente com a ordem do polinômio quando o ponto de avaliação se afasta do centro da expansão. Dessa forma, a inclusão do termo cúbico não melhora a aproximação; ao contrário, amplifica a discrepância.

Outro aspecto importante, também visível na Tabela 3, é a relação entre erro real e limite superior. Em  $x_2$ , a razão erro/límite permanece pequena para  $P_2$ , indicando que o limite superior ainda é muito mais amplo do que o erro efetivo. Já para  $P_3$ , essa razão sobe para aproximadamente 0,8, sugerindo que, neste ponto, o comportamento do polinômio cúbico aproxima-se mais do pior caso previsto teoricamente. Isso reforça a ideia de que a ordem superior não apenas deixa de representar uma melhoria, mas torna-se mais sensível ao afastamento do ponto de expansão.

Por fim, considerando especificamente o ponto  $x_2$ , a precisão pode ser aprimorada modificando-se o ponto de expansão do polinômio de Taylor. Como o erro cresce de forma significativa com o afastamento em relação a  $x = \pi$ , uma alternativa eficiente seria expandir a função em torno de um ponto mais próximo de  $x_2$ . Essa escolha reduz o termo  $|x - a|^{n+1}$  do resto de Taylor e, consequentemente, diminui o erro associado mesmo para polinômios de ordem mais elevada.

## Exercício 2: Polinômios de Lagrange

Considere agora a função

$$f(x) = \ln(x + 1)$$

e os pontos de interpolação

$$x_0 = 0,0 \quad x_1 = 0,6 \quad x_2 = 0,9 \quad x_3 = 1,1$$

Os valores da função nesses pontos são

$$\begin{aligned} f(x_0) &= f(0,0) = \ln(1) = 0 \\ f(x_1) &= f(0,6) = \ln(1,6) \\ f(x_2) &= f(0,9) = \ln(1,9) \\ f(x_3) &= f(1,1) = \ln(2,1) \end{aligned}$$

A forma geral do polinômio interpolador de Lagrange de grau  $n$ , construído a partir de pontos distintos  $x_0, x_1, \dots, x_n$ , é dada por

$$P_n(x) = \sum_{k=0}^n f(x_k) L_k(x)$$

onde os polinômios básicos de Lagrange são

$$L_k(x) = \prod_{\substack{j=0 \\ j \neq k}}^n \frac{x - x_j}{x_k - x_j}$$

---

## Construção dos polinômios de Lagrange de graus 1, 2 e 3

### Polinômio de grau 1: $P_1(x)$

Para o polinômio de grau 1, utilizam-se apenas os pontos  $x_0$  e  $x_3$ . Os polinômios básicos são

$$L_0(x) = \frac{x - x_3}{x_0 - x_3} \quad L_3(x) = \frac{x - x_0}{x_3 - x_0}$$

Substituindo  $x_0 = 0,0$  e  $x_3 = 1,1$ , obtemos

$$L_0(x) = -\frac{x - 1,1}{1,1} \quad L_3(x) = \frac{x}{1,1}$$

O polinômio interpolador de grau 1 é dado por:

$$P_1(x) = f(x_0)L_0(x) + f(x_3)L_3(x)$$

Como  $f(x_0) = 0$ , o termo associado a  $L_0(x)$  é nulo, resultando em

$$P_1(x) = \ln(2,1) \frac{x}{1,1}$$

### Polinômio de grau 2: $P_2(x)$

Para o polinômio de grau 2, utilizam-se os pontos  $x_0$ ,  $x_1$  e  $x_3$ . Os polinômios básicos são

$$\begin{aligned} L_0(x) &= \frac{(x - x_1)(x - x_3)}{(x_0 - x_1)(x_0 - x_3)} \\ L_1(x) &= \frac{(x - x_0)(x - x_3)}{(x_1 - x_0)(x_1 - x_3)} \\ L_3(x) &= \frac{(x - x_0)(x - x_1)}{(x_3 - x_0)(x_3 - x_1)} \end{aligned}$$

Substituindo  $x_0 = 0,0$ ,  $x_1 = 0,6$  e  $x_3 = 1,1$  temos

$$\begin{aligned} L_0(x) &= \frac{(x - 0,6)(x - 1,1)}{0,66} \\ L_1(x) &= \frac{x(x - 1,1)}{-0,3} \\ L_3(x) &= \frac{x(x - 0,6)}{0,55} \end{aligned}$$

O polinômio interpolador de grau 2 é dado por

$$P_2(x) = f(x_0)L_0(x) + f(x_1)L_1(x) + f(x_3)L_3(x)$$

Como  $f(x_0) = 0$ , o termo associado a  $L_0(x)$  é novamente nulo, e obtemos

---

$$P_2(x) = \ln(1,6) \frac{x(x - 1,1)}{-0,3} + \ln(2,1) \frac{x(x - 0,6)}{0,55}$$

**Polinômio de grau 3:**  $P_3(x)$

Para o polinômio de grau 3, utilizam-se todos os pontos  $x_0, x_1, x_2$  e  $x_3$ . Os polinômios básicos são

$$\begin{aligned} L_0(x) &= \frac{(x - x_1)(x - x_2)(x - x_3)}{(x_0 - x_1)(x_0 - x_2)(x_0 - x_3)} \\ L_1(x) &= \frac{(x - x_0)(x - x_2)(x - x_3)}{(x_1 - x_0)(x_1 - x_2)(x_1 - x_3)} \\ L_2(x) &= \frac{(x - x_0)(x - x_1)(x - x_3)}{(x_2 - x_0)(x_2 - x_1)(x_2 - x_3)} \\ L_3(x) &= \frac{(x - x_0)(x - x_1)(x - x_2)}{(x_3 - x_0)(x_3 - x_1)(x_3 - x_2)} \end{aligned}$$

Substituindo  $x_0 = 0,0$ ,  $x_1 = 0,6$ ,  $x_2 = 0,9$  e  $x_3 = 1,1$ . Os polinômios básicos que de fato contribuem para a interpolação (isto é, aqueles associados a valores não nulos de  $f(x_k)$ ) podem ser escritos como

$$\begin{aligned} L_1(x) &= \frac{x(x - 0,9)(x - 1,1)}{0,09} \\ L_2(x) &= \frac{x(x - 0,6)(x - 1,1)}{-0,054} \\ L_3(x) &= \frac{x(x - 0,6)(x - 0,9)}{0,11} \end{aligned}$$

O polinômio interpolador de grau 3 é dado por

$$P_3(x) = f(x_0)L_0(x) + f(x_1)L_1(x) + f(x_2)L_2(x) + f(x_3)L_3(x)$$

Como  $f(x_0) = 0$ , o termo associado a  $L_0(x)$  é eliminado, resultando em

$$P_3(x) = \ln(1,6) \frac{x(x - 0,9)(x - 1,1)}{0,09} + \ln(1,9) \frac{x(x - 0,6)(x - 1,1)}{-0,054} + \ln(2,1) \frac{x(x - 0,6)(x - 0,9)}{0,11}$$

## Polinômios obtidos

Ao final dos cálculos, obtiveram-se explicitamente os seguintes polinômios interpoladores:

$$P_1(x) = \ln(2,1) \frac{x}{1,1}$$

$$P_2(x) = \ln(1,6) \frac{x(x - 1,1)}{-0,3} + \ln(2,1) \frac{x(x - 0,6)}{0,55}$$

$$P_3(x) = \ln(1,6) \frac{x(x - 0,9)(x - 1,1)}{0,09} + \ln(1,9) \frac{x(x - 0,6)(x - 1,1)}{-0,054} + \ln(2,1) \frac{x(x - 0,6)(x - 0,9)}{0,11}$$

Esses polinômios  $P_1(x)$ ,  $P_2(x)$  e  $P_3(x)$  serão utilizados, nos itens seguintes, para aproximar a função  $f(x)$  nos pontos  $x = 0,3$  e  $x = 0,75$ , bem como para calcular o desvio relativo em relação ao valor verdadeiro da função.

### Visualização gráfica das aproximações em $x = 0,3$

A Figura 1 mostra o comportamento global da função  $f(x)$  e dos polinômios  $P_1$ ,  $P_2$  e  $P_3$ . Observa-se que, fora do intervalo de interpolação, as curvas começam a divergir, e já é possível notar que o polinômio linear  $P_1(x)$  permanece mais distante da função real, enquanto  $P_2$  e  $P_3$  acompanham melhor sua curvatura.

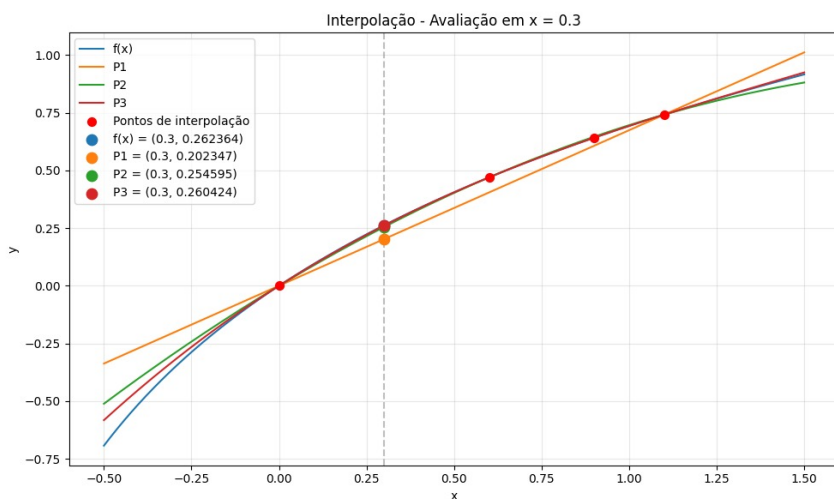


Figura 1: Interpolação polinomial em  $x = 0,3$  — visão geral

A Figura 2 apresenta a região ampliada ao redor de  $x = 0,3$ . O zoom confirma o que já era visível na análise global:  $P_1(x)$  é a pior aproximação, exibindo um erro relativo elevado ( $\approx 22,9\%$ ). O polinômio  $P_2(x)$  reduz substancialmente essa discrepância ( $\approx 2,96\%$ ), enquanto  $P_3(x)$  praticamente se sobrepõe à função real, apresentando o menor erro relativo dentre as três aproximações ( $\approx 0,74\%$ ).

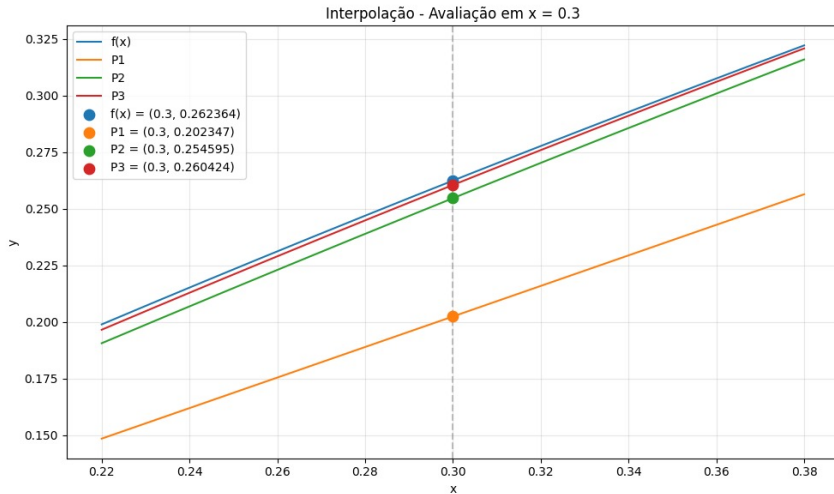


Figura 2: Interpolação polinomial em  $x = 0,3$  — região ampliada (com zoom).

### Visualização gráfica das aproximações em $x = 0,75$

A Figura 3 apresenta a região ampliada em torno de  $x = 0,75$ , permitindo analisar a precisão local das aproximações. Assim como no caso anterior, observa-se que o polinômio linear  $P_1(x)$  é claramente a pior aproximação, fato coerente com seu erro relativo elevado, em torno de 9,61%.

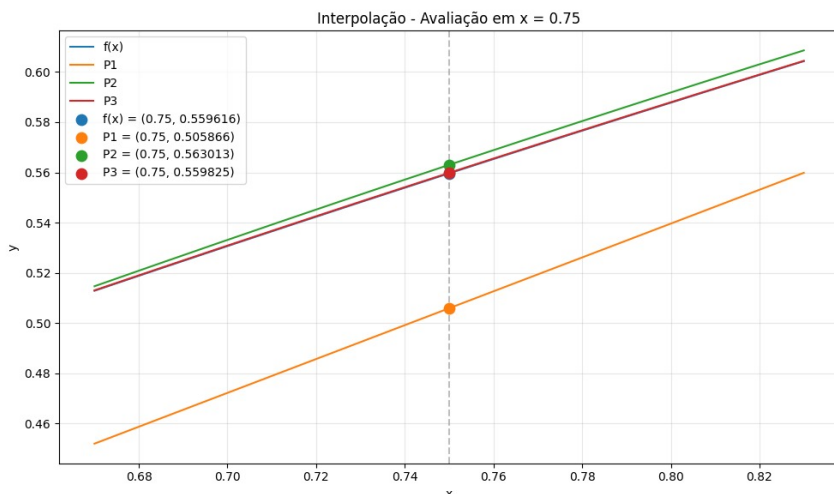


Figura 3: Interpolação polinomial em  $x = 0,75$  — região ampliada (com zoom).

O polinômio quadrático  $P_2(x)$  apresenta melhora significativa, reduzindo o erro relativo

---

para aproximadamente 0,61%. Já o polinômio cúbico  $P_3(x)$  praticamente coincide com a curva real da função, atingindo um erro relativo muito pequeno, próximo de 0,037%. Esse comportamento é visível no zoom, onde a curva de  $P_3(x)$  se sobrepõe quase totalmente à função real.

Outro aspecto importante é que as aproximações em  $x = 0,75$  são mais precisas do que as obtidas em  $x = 0,3$ . Isso ocorre porque  $x = 0,75$  está situado entre os pontos intermediários da interpolação (0,6 e 0,9), intervalo onde os polinômios tendem a acompanhar com maior fidelidade o comportamento da função. Já o ponto  $x = 0,3$  encontra-se em um subintervalo mais amplo e menos central (0,0 a 0,6), o que naturalmente aumenta o erro relativo observado naquele caso.

# Exercício 3: Função de Runge

A função de Runge é dada por

$$f(x) = \frac{1}{1+x^2}.$$

O objetivo deste exercício é construir polinômios interpolantes de Lagrange no intervalo  $[-5, 5]$  utilizando pontos equidistantes para os casos  $n = 4, 6, 8$  e  $12$ . Para cada valor de  $n$ , serão determinados os respectivos polinômios, bem como seus gráficos comparativos com a função original.

A partir dessas representações gráficas, será analisado o comportamento da interpolação ao longo do intervalo, com ênfase no centro e nos extremos.

## a) Polinômio de Lagrange para $n = 4$

Para  $n = 4$ , desejamos interpolar a função de Runge,

$$f(x) = \frac{1}{1+x^2}.$$

Os quatro pontos amostrados são:

$$x_0 = -5, \quad x_1 = -\frac{5}{3} \approx -1,66667, \quad x_2 = \frac{5}{3} \approx 1,66667, \quad x_3 = 5.$$

Segundo o mesmo padrão de construção utilizado na Questão 2, o polinômio interpolante de Lagrange de grau 3 é expresso como

$$\boxed{P_3(x) = -\frac{9}{52000} (x + \frac{5}{3})(x - \frac{5}{3})(x - 5) + \frac{243}{68000} (x + 5)(x - \frac{5}{3})(x - 5) \\ - \frac{243}{68000} (x + 5)(x + \frac{5}{3})(x - 5) + \frac{9}{52000} (x + 5)(x + \frac{5}{3})(x - \frac{5}{3})}.$$

A Figura 4 mostra a comparação entre a função de Runge e o polinômio interpolante construído com quatro pontos equidistantes. Observa-se que o polinômio acompanha razoavelmente bem a função nos próprios pontos de interpolação, mas apresenta uma discrepância significativa no centro do intervalo.

Em  $x = 0$ , por exemplo, isso corresponde a um erro relativo de aproximadamente 70,7%.

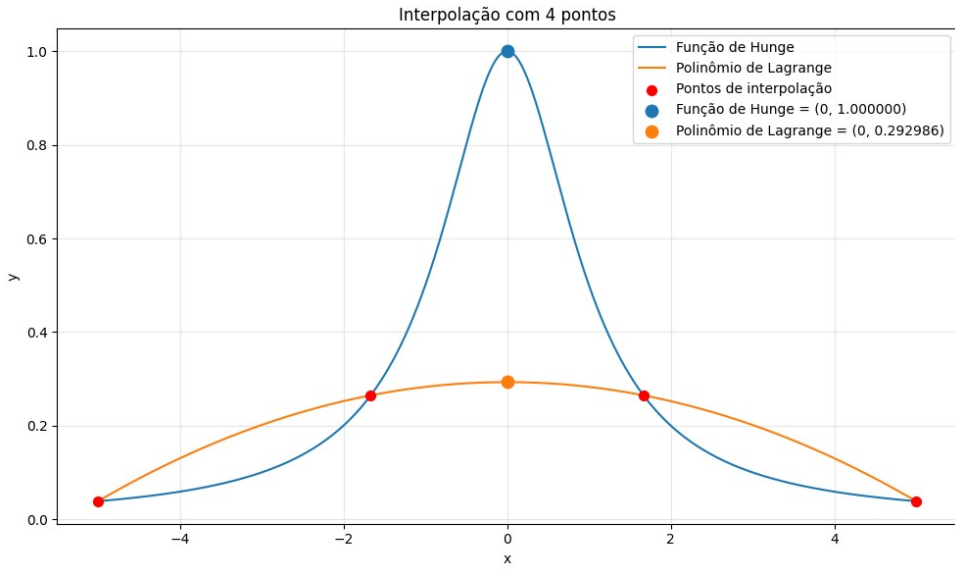


Figura 4: Interpolação da função de Runge utilizando  $n = 4$  pontos equidistantes.

### b) Polinômio de Lagrange para $n = 6$

Os pontos de interpolação utilizados são

$$x_0 = -5, \quad x_1 = -3, \quad x_2 = -1, \quad x_3 = 1, \quad x_4 = 3, \quad x_5 = 5.$$

Como a função de Runge é par e os pontos são simétricos em torno da origem, os termos ímpares do polinômio se anulam. Assim, o polinômio pode ser escrito como

$$P_5(x) = \frac{1}{520} x^4 - \frac{9}{130} x^2 + \frac{59}{104}.$$

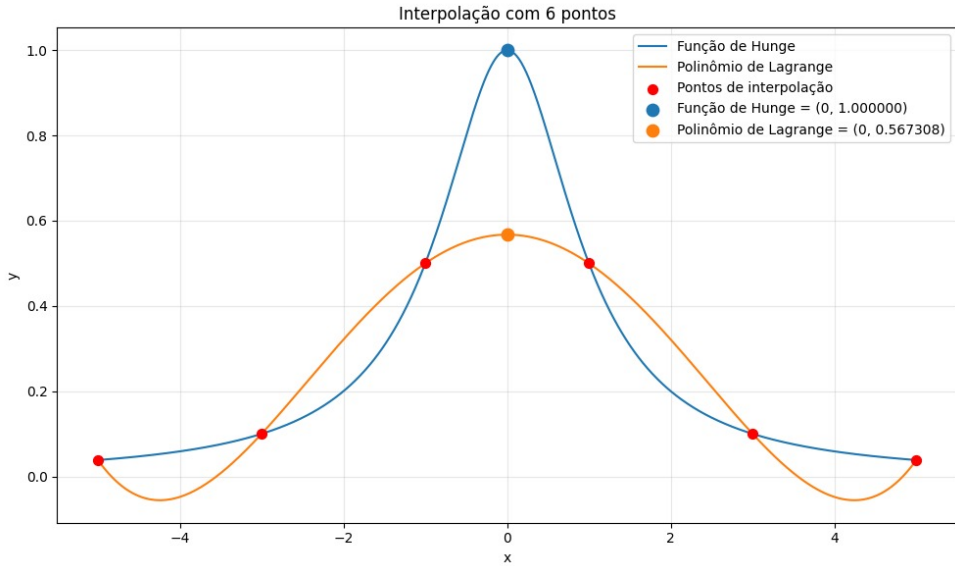


Figura 5: Interpolação da função de Runge utilizando  $n = 6$  pontos equidistantes.

A Figura 5 mostra que, com  $n = 6$ , o polinômio passa a representar melhor a forma geral da função de Runge, embora ainda subestime o valor máximo no centro do intervalo. Em  $x = 0$ , o erro relativo permanece elevado, cerca de 43,3%, o que indica melhora em relação ao caso  $n = 4$ , mas evidencia que a escolha de pontos equidistantes ainda não é suficiente para reproduzir adequadamente o pico central da função.

### c) Polinômio de Lagrange para $n = 8$

Os pontos de interpolação utilizados são

$$x_0 = -5, \quad x_1 = -3,57143, \quad x_2 = -2,14286, \quad x_3 = -0,71429, \\ x_4 = 0,71429, \quad x_5 = 2,14286, \quad x_6 = 3,57143, \quad x_7 = 5.$$

O polinômio interpolante resultante, de grau 7, pode ser escrito na forma

$$P_7(x) = -\frac{1}{8000} x^6 + \frac{11}{3000} x^4 - \frac{29}{750} x^2 + \frac{241}{320}.$$

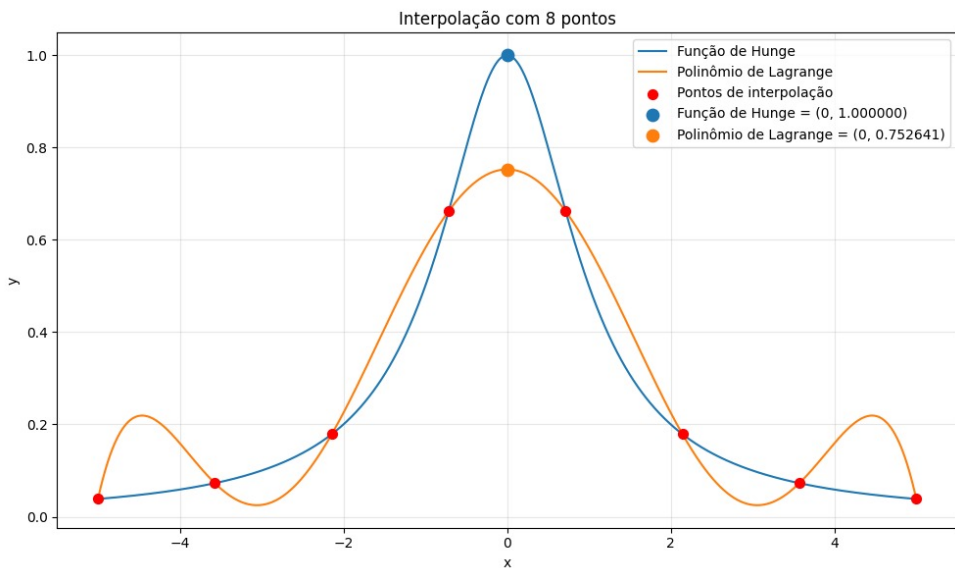


Figura 6: Interpolação da função de Runge utilizando  $n = 8$  pontos equidistantes.

A Figura 6 mostra que, para  $n = 8$ , o polinômio passa a reproduzir com maior precisão a região central da função, reduzindo a subestimação observada nos casos anteriores. Mesmo assim, o valor em  $x = 0$  ainda apresenta discrepância relevante, com erro relativo de aproximadamente 24,7%, embora melhor que nos casos  $n = 4$  e  $n = 6$ .

Além disso, observa-se que o aumento do grau do polinômio intensifica as oscilações nas extremidades do intervalo, resultando em desvios pronunciados longe do centro. Esse comportamento indica que, apesar do acréscimo de pontos, a interpolação com nós equidistantes não garante estabilidade nem boa aproximação nas bordas do domínio.

#### d) Polinômio de Lagrange para $n = 12$

Os doze pontos de interpolação são equidistantes no intervalo  $[-5, 5]$ , com espaçamento

$$\Delta x = \frac{10}{11} \approx 0,90909.$$

Assim, os pontos utilizados são:

$$\begin{aligned}x_0 &= -5.00000, & x_1 &= -4.09091, & x_2 &= -3.18182, & x_3 &= -2.27273 \\x_4 &= -1.36364, & x_5 &= -0.45455, & x_6 &= 0.45455, & x_7 &= 1.36364 \\x_8 &= 2.27273, & x_9 &= 3.18182, & x_{10} &= 4.09091, & x_{11} &= 5.00000.\end{aligned}$$

O polinômio obtido é:

$$\boxed{P_{11}(x) = 0.925925 - 0.263374 x^2 + 0.027972 x^4 - 0.001542 x^6 + 5.06 \times 10^{-5} x^8 - 8.36 \times 10^{-7} x^{10}.}$$

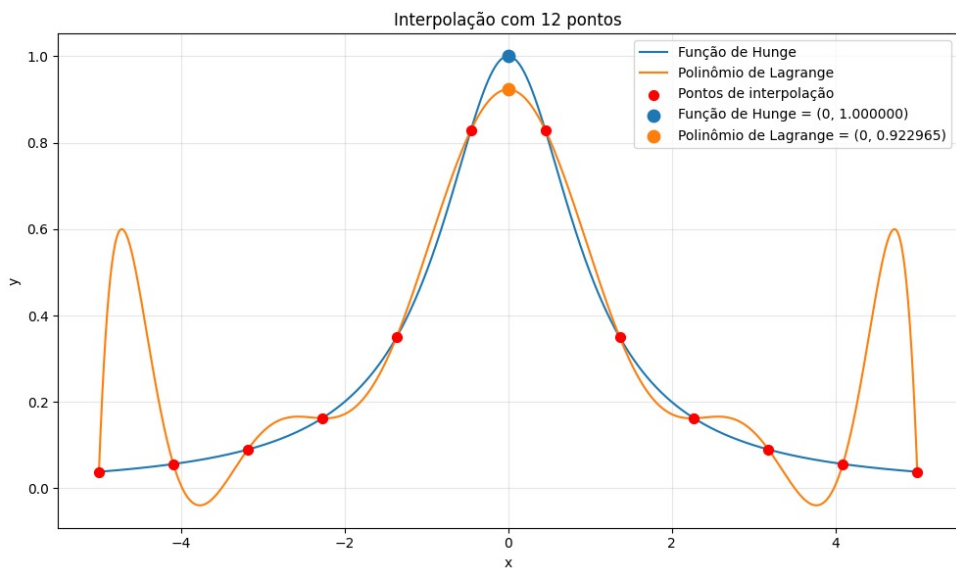


Figura 7: Interpolação da função de Runge utilizando  $n = 12$  pontos equidistantes.

A Figura 7 mostra que, com  $n = 12$ , a aproximação melhora ainda mais na região central do intervalo. Em  $x = 0$ , o erro relativo cai para aproximadamente 7,7%, indicando avanço claro em relação aos casos anteriores.

Entretanto, o gráfico também revela oscilações muito mais pronunciadas nas extremidades. Essas ondulações fazem com que o polinômio se afaste drasticamente da função verdadeira fora da região central, confirmando que o aumento do número de pontos equidistantes tende a melhorar a precisão apenas no meio do intervalo, ao custo de instabilidade crescente nas bordas.

## Alternativa para aprimorar a interpolação sem usar *splines*

Uma forma de aprimorar a interpolação polinomial global, sem recorrer a *splines*, consiste em substituir os pontos equidistantes pelos chamados *pontos de Chebyshev*. Esses pontos não são uniformemente espaçados: eles se concentram nas extremidades do intervalo e são mais espaçados na região central, o que reduz de forma significativa as oscilações do polinômio interpolante.

Para  $n + 1$  pontos no intervalo  $[a, b]$ , os pontos de Chebyshev são dados por

$$x_k = \frac{a + b}{2} + \frac{b - a}{2} \cos\left(\frac{(2k + 1)\pi}{2(n + 1)}\right), \quad k = 0, 1, \dots, n.$$

Essa escolha de nós melhora a estabilidade numérica e tende a minimizar o erro máximo da interpolação, produzindo polinômios globais que aproximam melhor funções como a de Runge, mesmo para valores elevados de  $n$ , sem apresentar oscilações excessivas nas extremidades do intervalo.

Para avaliar o efeito da utilização de pontos de Chebyshev na interpolação da função de Runge, foram gerados polinômios interpolantes para  $n = 4, 6, 8$  e  $12$  nós. A Figura 8 apresenta os gráficos para cada valor de  $n$ , permitindo visualizar a estabilidade das aproximações e o efeito do aumento do número de pontos.

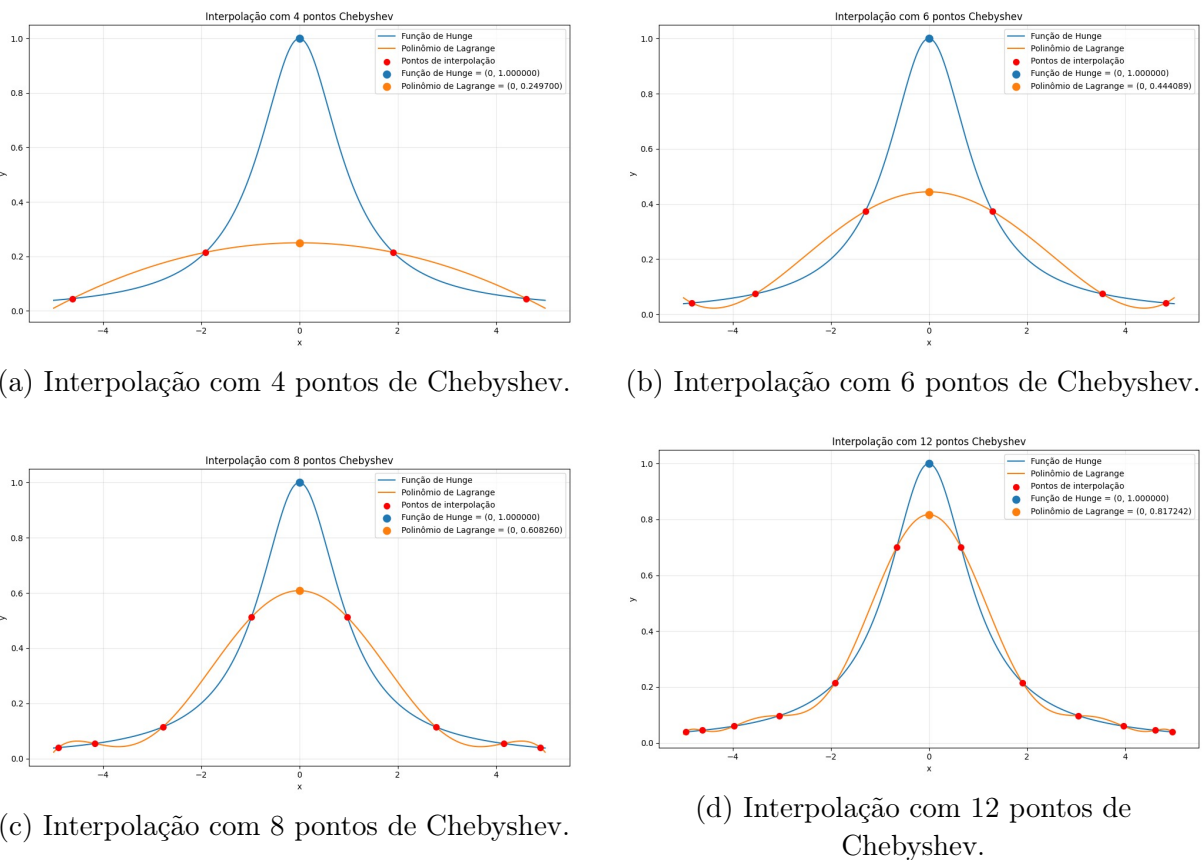


Figura 8: Interpolação da função de Runge utilizando nós de Chebyshev para diferentes números de pontos.

---

Por outro lado, essa melhora de estabilidade nas bordas vem acompanhada de uma perda de precisão no centro do intervalo. Para  $n = 12$ , por exemplo, o polinômio com pontos equidistantes fornece em  $x = 0$  um erro relativo de cerca de 7,7%. Já a interpolação com 12 pontos de Chebyshev produz um erro relativo em torno de 18,3%.

A comparação mostra que a aproximação com pontos equidistantes pode até ser precisa no centro do intervalo quando  $n$  é grande, mas sofre com oscilações intensas nas extremidades. Já ao utilizar pontos de *Chebyshev*, há uma pequena perda de precisão em  $x = 0$ , mas a interpolação se torna muito mais estável e apresenta erros bem mais uniformes ao longo de todo o intervalo.